

TRAITEMENT D'IMAGES SUR GPU ⁽¹⁾

**Algorithmes rapides pour le filtrage et la
segmentation des images bruitées sur GPU.**

Gilles Perrot

17 avril 2014

Université de Franche-Comté, Institut FEMTO-ST

Département DISC - équipe AND

Direction : R. Couturier & S. Domas

FILTRAGE ⁽²⁾

Réduire le bruit.

Image bruitée

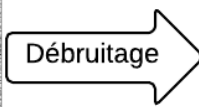
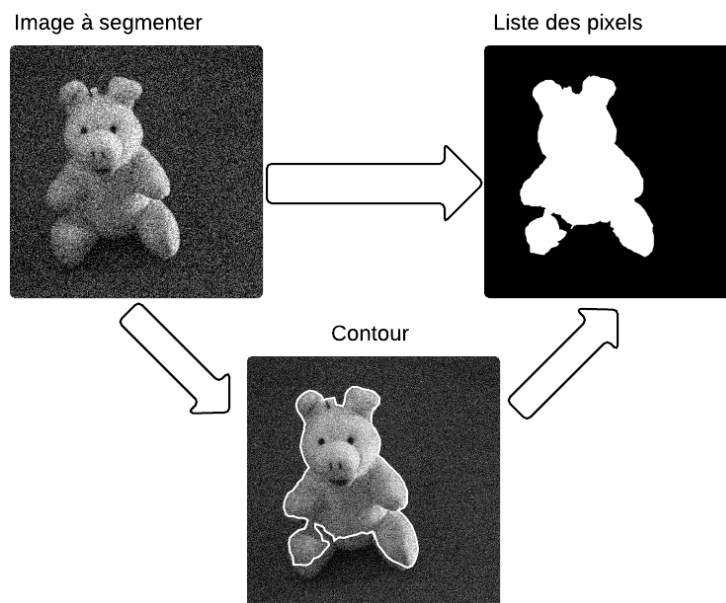


Image filtrée



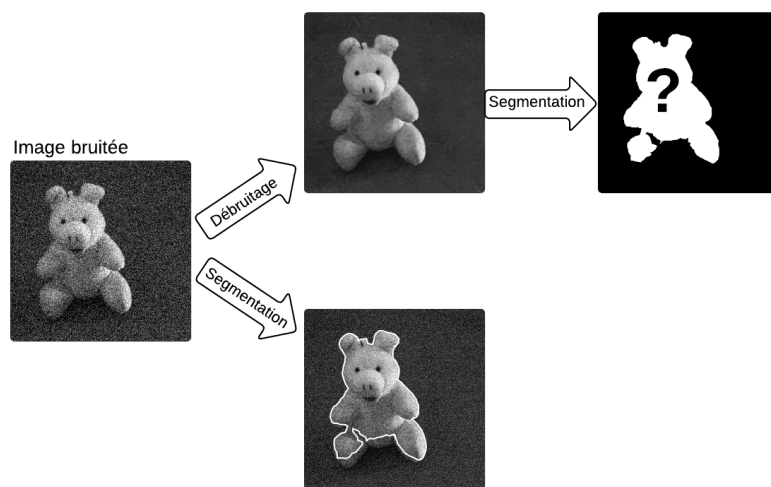
SEGMENTATION⁽³⁾

Distinguer les zones homogènes d'une image.



SEGMENTATION ⁽⁴⁾

Deux approches

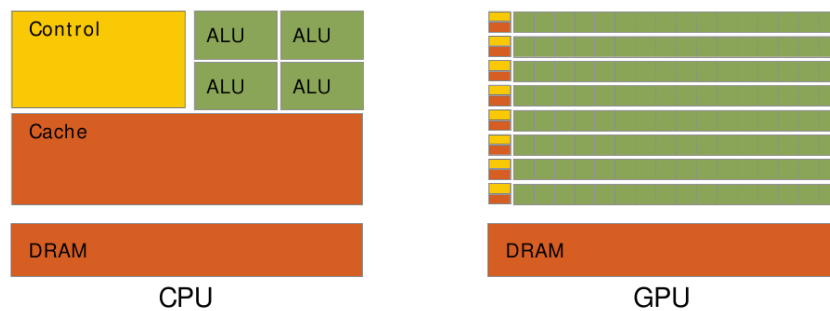


PLAN DE LA PRÉSENTATION ⁽⁵⁾

1. Introduction
 - Les GPUs ou *Graphical Processing Units*.
 - Objectifs.
2. La segmentation des images
 - Travaux de référence.
 - Parallélisation GPU d'un algorithme de segmentation de type *snake*.
3. Le filtrage des images
 - Travaux de référence.
 - Optimisation GPU des filtres médian et de convolution.
 - Conception d'un algorithme GPU de débruitage par recherche des lignes de niveaux.
4. Conclusion et perspectives

INTRODUCTION ⁽⁶⁾

Les GPUs ou *Processeurs graphiques*.



- Processeurs *classiques* CPU : exécution **séquentielle**
 - Quelques unités de calcul (les cœurs).
- Processeurs *graphiques* GPU : exécution **massivement parallèle**
 - Des centaines, voire milliers, d'unités de calcul, regroupées en SMs (*Streaming Multiprocessors*).

INTRODUCTION ⁽⁷⁾

Ojectif : accélérer

Segmentation

- Algorithme par contours actifs, classe des *snakes*.
- Implémentation CPU optimisée existante.
- Conception de l'implémentation GPU.
- Adaptations mineures de l'algorithme.

Filtrage

- Filtres médians, filtres de convolution
 - Opérateurs mathématiques,
 - Conception d'une implémentation optimisée.
- Filtre par lignes de niveaux
 - Algorithme original,
 - Conceptions conjointes algorithme et implémentation.

SEGMENTATION⁽⁸⁾

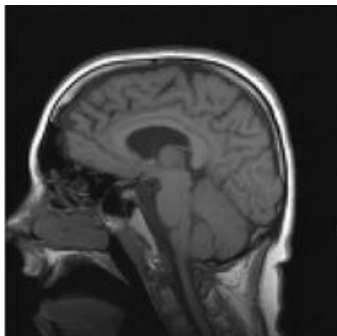
Travaux de référence

Level-set (Roberts *et al.*, 2010)

- Images d'IRM de 256x256x256 pixels (16 millions),
- Temps sur GTX280 : 11 s.

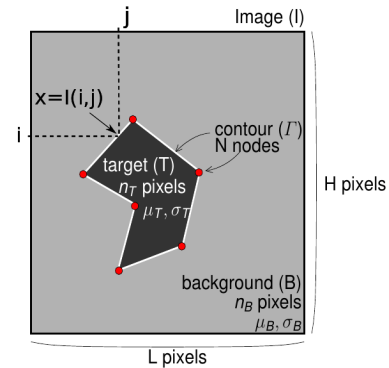
Snake GVF (Smistad *et al.*, 2012)

- Images d'IRM de 256x256x256 pixels (16 millions),
- Temps sur C2070 : 7 s.



SEGMENTATION ⁽⁹⁾

Snake polygonal orienté région (principe)



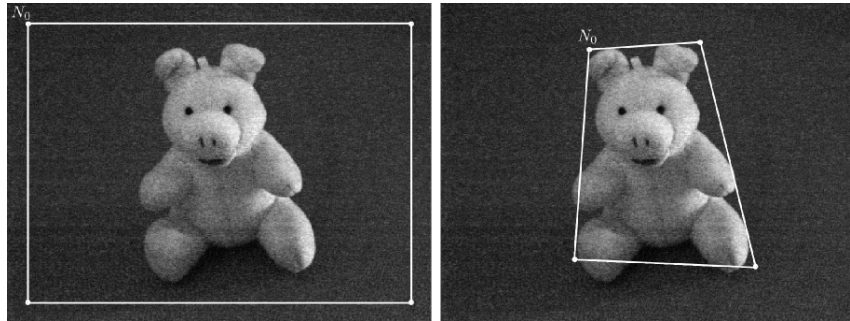
- Objectif : déterminer le contour le plus *vraisemblable*.
- Le critère de vraisemblance généralisée est, dans le cas gaussien :

$$GL = \frac{1}{2} [n_B \cdot \log(\sigma_B^2) + n_T \cdot \log(\sigma_T^2)]$$

- Calcul des variances σ^2 pour chaque contour :
 - Méthode de Chesnaud *et al.* (1999) en $\mathcal{O}(n^2)$.
 - Implique le pré-calcul de 3 images cumulées.

SEGMENTATION⁽¹⁰⁾

Snake polygonal orienté région (algo CPU)

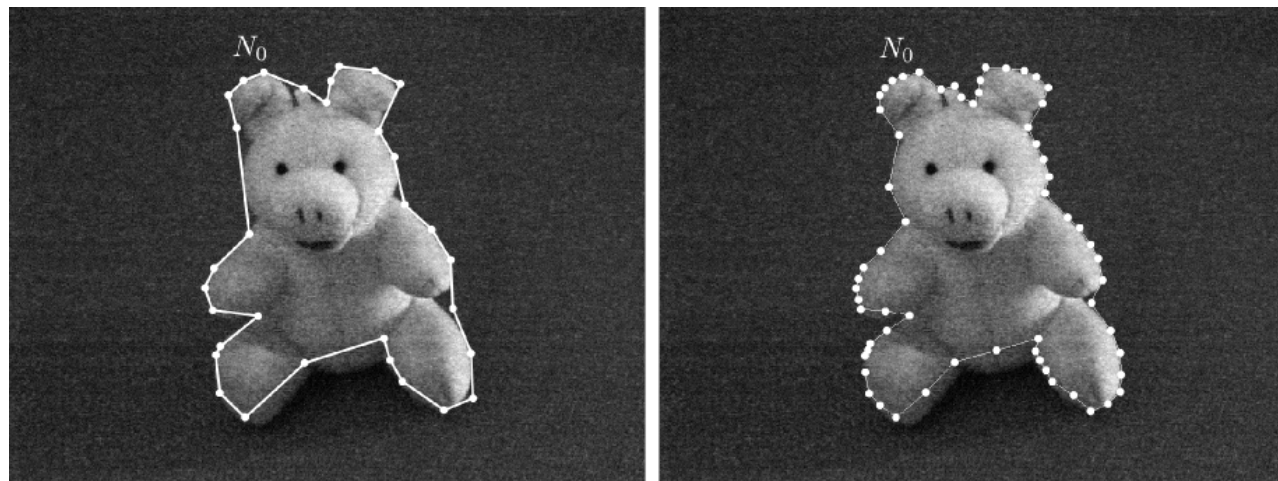
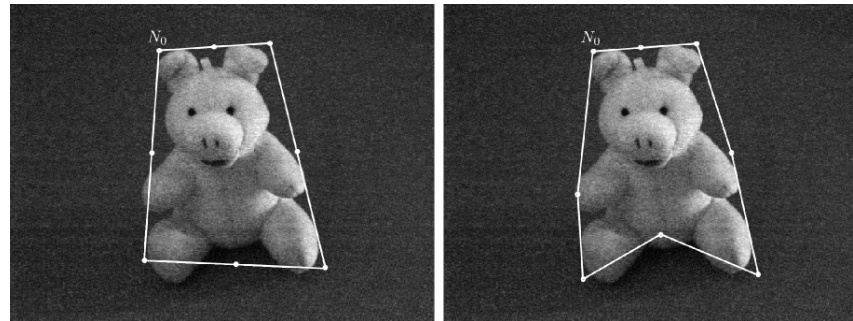


Itération 1

1. Le contour initial est rectangulaire (4 nœuds)
2. On déplace successivement les 4 nœuds jusqu'à ce que plus aucun nouveau déplacement ne provoque l'amélioration du critère.

SEGMENTATION⁽¹¹⁾

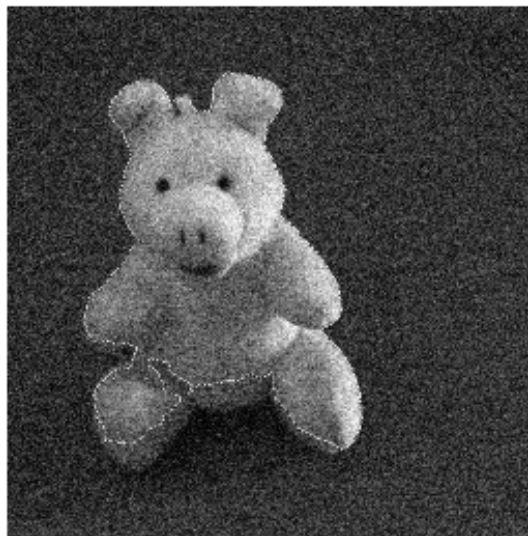
Snake polygonal orienté région (algo CPU)



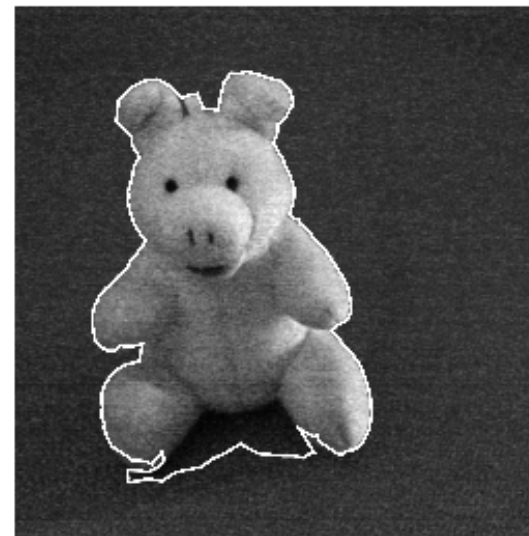
SEGMENTATION⁽¹²⁾

Snake polygonal orienté région (algo CPU)

Exemples de résultats



512x512, 14ms

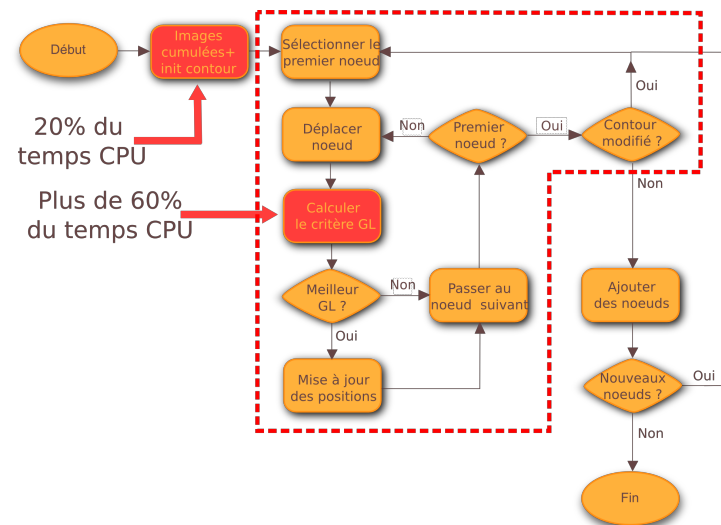


4000x4000, 700ms

SEGMENTATION⁽¹³⁾

Parallélisation du *Snake* polygonal sur GPU

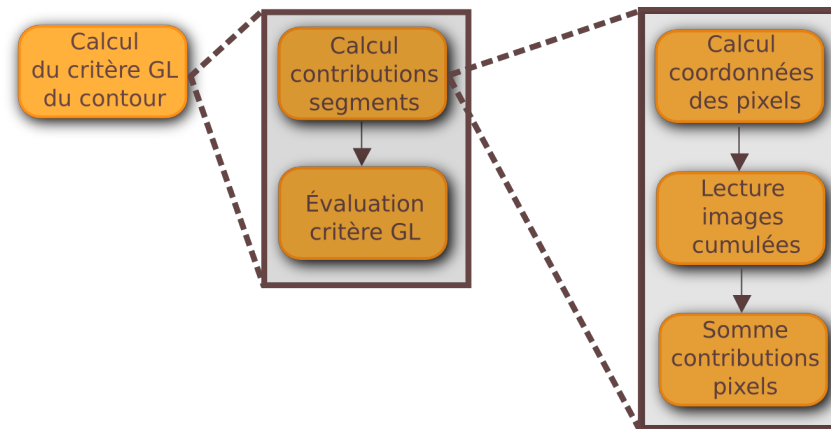
Identification des fonctions coûteuses



SEGMENTATION ⁽¹⁴⁾

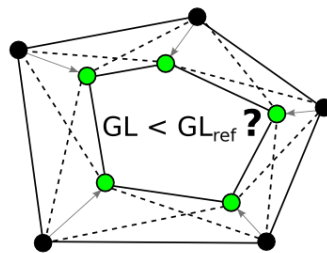
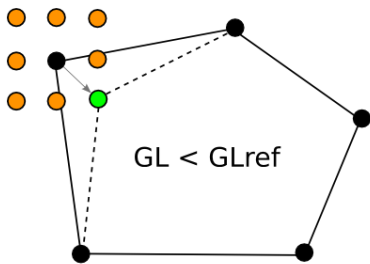
Parallélisation du *Snake* polygonal sur GPU

Calcul du critère GL

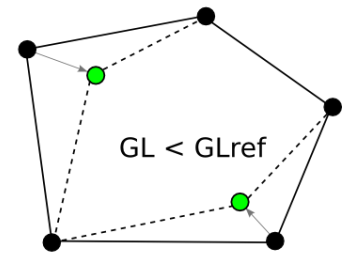


SEGMENTATION⁽¹⁵⁾

Parallélisation du *Snake* polygonal sur GPU



tous les noeuds
en parallèle



les noeuds pairs/impairs
en parallèle

- position courante
- position envisagée
- position validée

SEGMENTATION⁽¹⁶⁾

Parallélisation du *Snake* polygonal sur GPU

- 1 thread par pixel.
 - Concaténation de tous les pixels composant l'ensemble des contours évalués.
 - Réductions en mémoire partagée.
 - Une seule taille de segment : la taille du plus long.
-

SEGMENTATION⁽¹⁷⁾

Parallélisation du *Snake* polygonal sur GPU

Points positifs :

- Conservation des données en mémoire GPU.
- Images cumulées calculées en parallèle.
- Discretisation des segments en parallèle (1 thread/pixel).
- Respect de l'algorithme original.

Points négatifs :

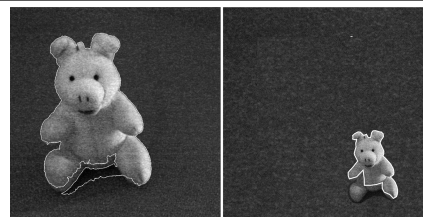
- Trop peu de calculs à effectuer.
 - Motifs d'accès à la mémoire globale trop irréguliers.
-

SEGMENTATION⁽¹⁸⁾

Parallélisation du *Snake* polygonal sur GPU

Performances de l'implémentation

		Performances		
		CPU	GPU	CPU/GPU
	total	0,51 s	0,06 s	x8,5
Image 15 MP (3900×3900)	images cumulées	0,13 s	0,02 s	x6,5
	segmentation	0,46 s	0,04 s	x11,5
	total	4,08 s	0,59 s	x6,9
Image 100 MP (10000×10000)	images cumulées	0,91 s	0,13 s	x6,9
	segmentation	3,17 s	0,46 s	x6,9
	total	5,70 s	0,79 s	x7,2
Image 150 MP (12200×12200)	images cumulées	1,40 s	0,20 s	x7,0
	segmentation	4,30 s	0,59 s	x7,3



100 Mpixels

100 Mpixels

SEGMENTATION ⁽¹⁹⁾

Parallélisation du *Snake* polygonal sur GPU

Conclusion

- Première et seule implémentation connue à ce jour.
- Performances intéressantes pour les grandes images.
- Image 10000x10000 en moins de 0,6 seconde.
- Emploi non optimal du GPU : réductions, irrégularités.
- Premières itérations GPU rapides : grands segments.
- Temps de calcul très dépendant du contenu de l'image.
- Proposition d'une méthode d'initialisation alternative :
 - Recherche du contour rectangle le plus vraisemblable.
 - Accélération jusqu'à x15 avec de petites cibles.

Publication

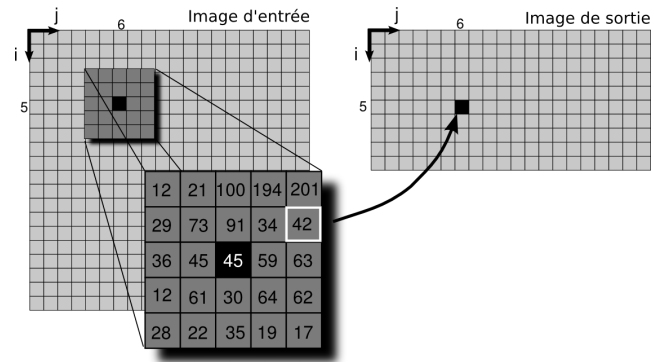
- *G. Perrot, S. Domas, R. Couturier, and N. Bertaux. Gpu implementation of a region based algorithm for large images segmentation. In Computer and Information Technology (CIT), 2011 IEEE 11th International Conference on, pages 291-298.*

LE FILTRAGE DES IMAGES ⁽²⁰⁾

- Filtre médian,
 - Filtres de convolution,
 - Filtre par recherche des lignes de niveaux (PIPD).
-

LE FILTRAGE DES IMAGES (21)

Filtre médian : principe



La valeur de sortie d'un pixel est la **médiane** des valeurs de son voisinage.

- Bonne réduction de bruits gaussien et *poivre & sel*
- Valeurs de sortie appartenant au voisinage.
- Opération de sélection coûteuse (tri).
- Usages fréquents avec des petites fenêtres (de 3x3 à 7x7).
- Quelques applications avec de grandes fenêtres.

LE FILTRAGE DES IMAGES ⁽²²⁾

Filtre médian : usage



Bruit *poivre & sel* 25% Médian 5x5

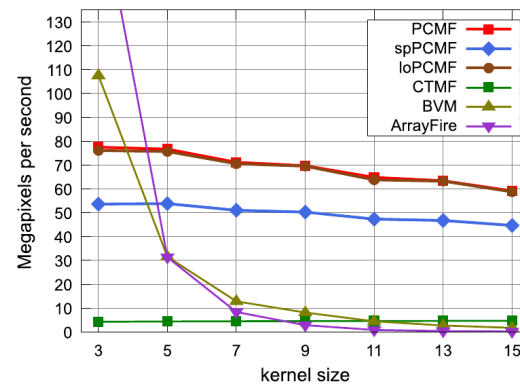
Médian 3x3 - 2 passes

LE FILTRAGE DES IMAGES ⁽²³⁾

Filtre médian GPU : Travaux de référence

Comparaison des implémentations GPU de référence :

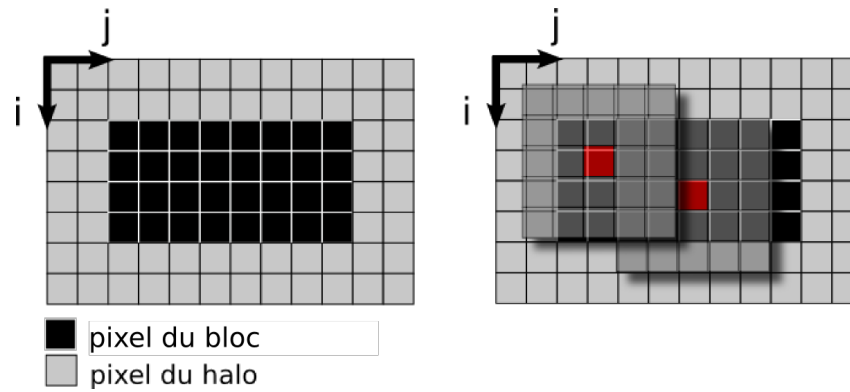
- PCMF, Sanchez *et al.* (2013), débit max. 80 MP/s,
- ArrayFire, commerciale (2013), débit max. 185 MP/s,
- BVM parallélisé par Chen *et al.* (2009), débit max. 110 MP/s.



LE FILTRAGE DES IMAGES ⁽²⁴⁾

Filtre médian GPU : Travaux de référence

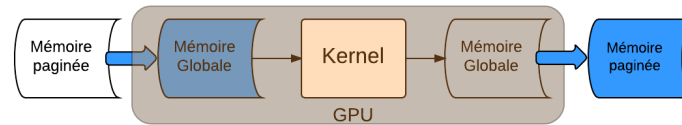
Emploi de la mémoire partagée (exemple médian 5x5)



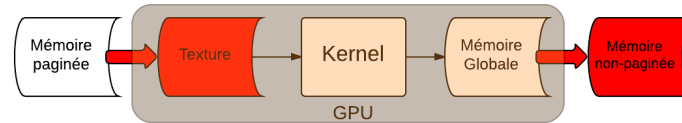
LE FILTRAGE DES IMAGES ⁽²⁵⁾

Optimisation du filtre médian GPU

Transferts classiques



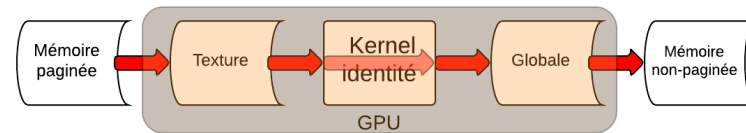
Transferts optimaux



Dimension (pixels)	Profondeur (bits)	Optimaux (ms)	Classiques (ms)
512×512	8	0.14	0.23
	16	0.24	0.42
4096×4096	8	5.88	7.10
	16	11.42	13.16

LE FILTRAGE DES IMAGES ⁽²⁶⁾

Optimisation du filtre médian GPU



Débits maximums effectifs, en MP/s, sur C2070.

Taille d'image	T ₈	T ₁₆
512×512	1598	975
4096×4096	2444	1335

Rappel : PCMF : 80 MP/s - BVM : 110 MP/s - ArrayFire : 185 MP/s

LE FILTRAGE DES IMAGES ⁽²⁷⁾

Optimisation du filtre médian GPU

Sélection de la médiane

- Emploi exclusif des **registres** pour charger les valeurs utiles
 - mémoires individuelles au cœur du GPU,
 - non indexables dans un tableau.
 - maximum de 63 registres par thread et 32 K par bloc de threads.
 - Pour les petites tailles : max. 7x7 avec 1 pixel/thread.
 - Exploitation des recouvrements entre fenêtres voisines.
-

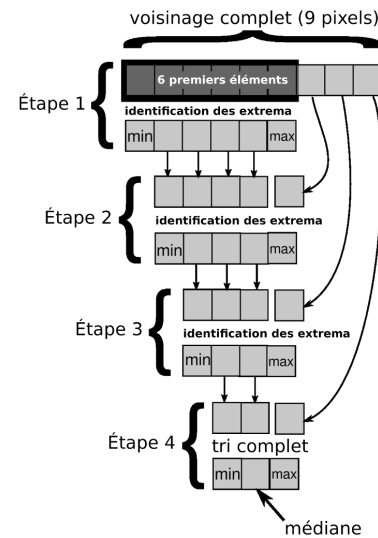
LE FILTRAGE DES IMAGES ⁽²⁸⁾

Optimisation du filtre médian GPU

Sélection de la médiane (par oubli)

Avantages :

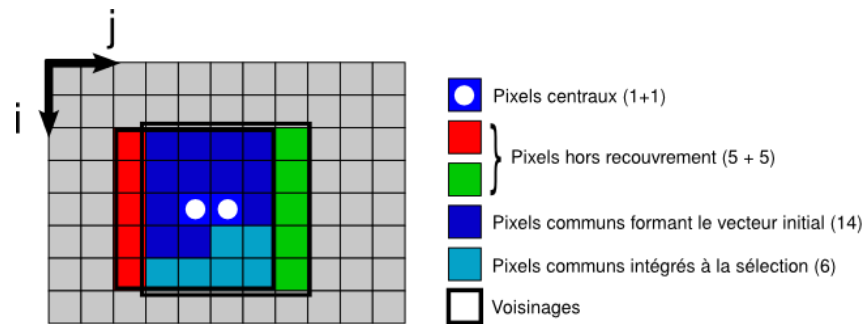
- Évite le tri complet : performances en hausse,
- Économie de registres : $\lceil \frac{n}{2} \rceil + 1$ au lieu de n ,
- Permet de plus grandes tailles : max 11x11.



LE FILTRAGE DES IMAGES ⁽²⁹⁾

Optimisation du filtre médian GPU

Exploitation des recouvrements : 2 pixels par thread (médian 5x5).



À 4 pixels/thread, zone commune = 10 pixels < 14.

LE FILTRAGE DES IMAGES (30)

Performances du médian GPU proposé (PRMF)

Taille d'image	<i>t</i> : temps kernel			
	T_x débit en prof. x	3×3	5×5	7×7
512×512	t (ms)	0.05	0.19	0.60
	T_8 (Mpix/s)	1291	773	348
	T_{16} (Mpix/s)	865	607	307
4096×4096	t (ms)	3.17	11.77	38.06
	T_8 (Mpix/s)	1854	951	382
	T_{16} (Mpix/s)	1151	738	340

LE FILTRAGE DES IMAGES ⁽³¹⁾

Performances du filtre médian GPU proposé (PRMF)

Image 512x512

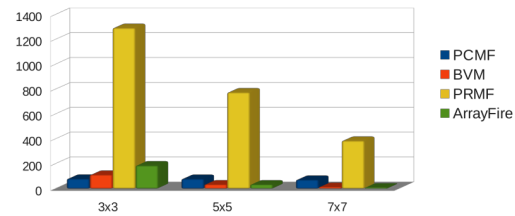
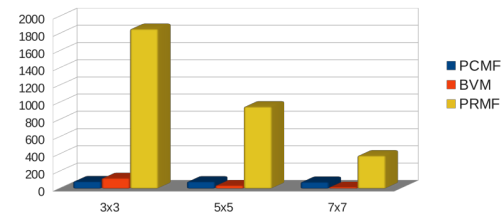


Image 4096x4096



LE FILTRAGE DES IMAGES ⁽³²⁾

Le filtre médian GPU

Conclusion

- Pas d'utilisation de la mémoire partagée.
- Accès optimaux : 1 lecture par pixel.
- Débit global amélioré de **x7** à **x10**, proche du maximum.
- Débit de calcul max. **5,3 GP/s**.
- Médian jusqu'au 11x11 sur C2070, 21x21 sur K40.
- Création d'une application web générant les codes sources.
- Utilisé sur images de cristallographie au synchrotron **SPring-8**.

Publications

- *Gilles Perrot. Image processing. In Designing Scientific Applications on GPUs, pages 28,70. CRC Press, 2013.*
- *Gilles Perrot, Stéphane Domas, and Raphaël Couturier. Fine-tuned high-speed implementation of a gpu-based median filter. Journal of Signal Processing Systems, pages 1-6, 2013.**

LE FILTRAGE DES IMAGES (33)

Les filtres de convolution

Principe

$$I_{out}(x, y) = (I_{in} * h) = \sum_{(i < H)} \sum_{(j < L)} I_{in}(x - j, y - i) h(j, i)$$

Selon les valeurs du masque h

- Réduction de bruit, détection de bords,...
- Potentiellement **séparable** en deux convolutions 1D.

LE FILTRAGE DES IMAGES ⁽³⁴⁾

Les filtres de convolution GPU

Extension des méthodes appliquées au filtre médian :

- Un seul accès mémoire par pixel.
- Mémorisation et calculs en registre.
- Optimum à 8 pixels/thread.

Implémentations de référence (C2070) :

- Nvidia atteint un débit de calcul maximum de **6,00 GP/s**.
-

LE FILTRAGE DES IMAGES ⁽³⁵⁾

Les filtres de convolution GPU

Résultats

- Amélioration sensible sur les débits de calcul (de 17 à 33 %).
 - Le traitement 1D est jusqu'à 54% plus rapide.
 - Débit maximum de **8,54 GP/s**.
 - Application à d'autres familles de signaux 1D (audio,...).
-

LE FILTRAGE DES IMAGES ⁽³⁶⁾

Filtre par recherche des lignes de niveaux

Motivations :

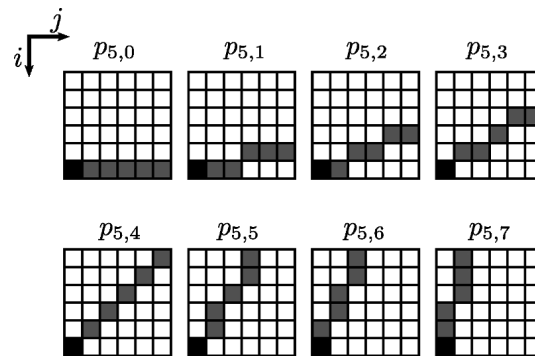
- Les algorithmes qui débruitent le mieux sont lents (BM3D).
 - Les images naturelles sont décomposables en un ensemble de lignes de niveaux (iso-niveau de gris).
 - Concevoir un algorithme GPU original et son implémentation.
-

LE FILTRAGE DES IMAGES ⁽³⁷⁾

Filtre par recherche des lignes de niveaux

Principe - modèle

- Estimation locale, par maximum de vraisemblance.
- Réduction de bruit par moyennage le long de la ligne estimée.
- Les lignes de niveaux estimées sont modélisées par des lignes brisées nommées **isolines** et composées de **segments**.
- Segments choisis parmi 32 motifs pré-calculés.
- Les 8 premiers motifs pour des segments de 6 pixels :



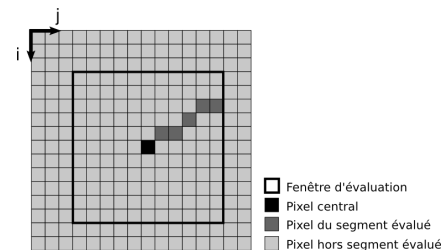
LE FILTRAGE DES IMAGES (38)

Filtre par recherche des lignes de niveaux

Étape 1 (1 pixel/thread)

- En chaque pixel, recherche du motif maximisant la log-vraisemblance (exemple $n = 6$)

$$-\frac{n}{2} \log(2\pi) - \frac{n}{2} \log(\sigma^2) - \frac{n}{2}$$



- Mémorisation des paramètres du motif sélectionné dans deux matrices I_{Θ} et I_{Σ} .

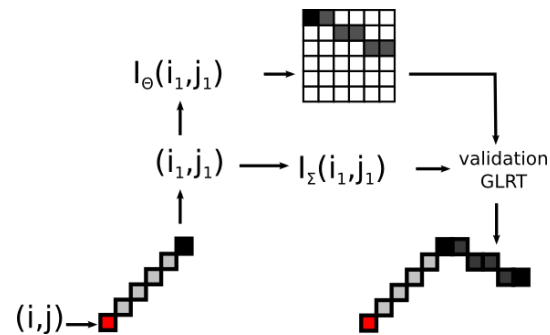
LE FILTRAGE DES IMAGES ⁽³⁹⁾

Filtre par recherche des lignes de niveaux

Étape 2 (1 pixel/thread)

- Allongement itératif des segments sous condition GLRT.
- Isoline validée de n_{prec} pixels. Candidat de n_s pixels.

$$GLRT = T - (n_{prec} + n_s) \left[\log(\widehat{\sigma}_{prec+s}^2) - \log(\widehat{\sigma}_{prec}^2) - \log(\widehat{\sigma}_s^2) \right]$$



LE FILTRAGE DES IMAGES (40)

Filtre par recherche des lignes de niveaux

Étape 3 (optionnelle)

Compensation de la non robustesse de sélection des motifs dans les zones homogènes.

- Conception d'un détecteur de bords.
 - Identification des zones homogènes avec ce détecteur.
 - Application d'un filtre moyeneur dans les zones identifiées comme homogènes (convolution).
-

LE FILTRAGE DES IMAGES ⁽⁴¹⁾

Filtre par recherche des lignes de niveaux

Résultats

Ensemble d'images de S. Lansel (DenoiseLab, Université Stanford),
filtre proposé (PI-PD)

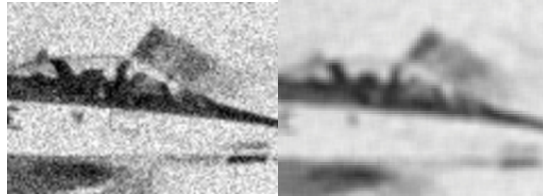
- Amélioration moyenne du rapport Signal sur bruit: **+7,1 dB**
- Indice de similarité structurelle : **+30%**
- Temps de calcul (C2070, avec détecteur de bords) : **7 ms**

Algorithme de référence BM3D

- Amélioration moyenne du rapport Signal sur bruit: **+9,5 dB**
 - Indice de similarité structurelle : **+36%**
 - Temps de calcul : **4300 ms**
-

LE FILTRAGE DES IMAGES ⁽⁴²⁾

Filtre par recherche des lignes de niveaux



Bruit gaussien $\sigma = 25$ Moyennage 5x5



PI-PD

BM3D

LE FILTRAGE DES IMAGES⁽⁴³⁾

Filtre par recherche des lignes de niveaux

Synthèse - conclusion

- Rapport qualité/temps élevé.
- Traitement d'images HD à 20 fps.
- Artefacts en marche d'escalier.
- Parallélisation de la méthode de Buades *et al.* (2006) :
 - gain +1 dB en +0,2 ms pour 512x512.
- Algorithme original sans implémentation séquentielle de référence.

Publication

- Gilles Perrot, Stéphane Domas, Raphaël Couturier, and Nicolas Bertaux. **Fast gpu-based denoising filter using isoline levels.** *Journal of Real-Time Image Processing*, pages 1-12, 2013.

CONCLUSION GÉNÉRALE ⁽⁴⁴⁾

- Trois types de conception mis en œuvre.
 - Le portage efficace d'algorithmes sur GPU peut s'avérer très complexe.
 - Certains algorithmes ne se prêtent pas à la parallélisation GPU.
 - L'emploi de la mémoire partagée n'apporte pas les meilleures performances en cas de recouvrements.
 - Filtrage à des débits inégaux.
 - Filtres utilisables par tout programmeur grâce au générateur de code.
-

PERSPECTIVES (45)

- Extension des filtres aux images couleurs et autres types de bruits (multiplicatif).
 - Extension aux pseudo-médians de grandes tailles (microscopie).
 - Beaucoup de traitements et domaines peuvent bénéficier des techniques proposées.
 - Application aux algorithmes qualitatifs mais lents (BM3D).
 - Les évolutions de l'architecture laissent entrevoir de nouvelles possibilités.
-